

Ảnh hưởng của thân trụ và bệ cọc đến phân bố nội lực cọc trong móng cọc khoan nhồi của trụ cầu

Effects of pier column and pile cap to the distribution of internal forces of piles in bridge foundation pile

Ngày nhận bài: 19/6/2016

Ngày sửa bài: 10/8/2016

Ngày chấp nhận đăng: 16/8/2016

Lê Bá Khánh,
Trần Như Trọng

TÓM TẮT

Mục tiêu của bài báo là khảo sát ảnh hưởng chiều dày bệ cọc đến phân bố nội lực đầu cọc trong móng cọc. Kết cấu trụ cầu được mô hình hóa bằng phần tử khối 3D. Bài báo áp dụng phương pháp phân tử hữu hạn để phân tích trạng thái ứng suất biến dạng của trụ cầu. Kết quả phân tích cho thấy kết cấu thân trụ và chiều dày đầu cọc có ảnh hưởng lớn đến nội lực đầu cọc. Có thể dựa vào độ cứng tương đối của dài để lựa chọn chiều dày đầu cọc hợp lý về mặt nội lực đầu cọc.

Từ khóa: trụ cầu, móng cọc, phần tử hữu hạn, độ cứng bệ cọc

ABSTRACT

The aim of this paper is to study the influence of pile cap thickness to the distribution of internal forces of piles in foundation pile. Piers are modeled using 3D solid elements. This article is applied finite element method for analyzing stress-strain state of the piers. Analysis results showed pier column and thickness of pile cap have great influence on the internal forces of piles. Can be based on the relative stiffness of pile cap to choose suitable pile cap thicknesses about internal forces.

Keywords: pier, pile foundation, finite element, stiffness of pile cap.

TS. Lê Bá Khánh

Giảng viên, Khoa Kỹ Thuật Xây Dựng,

Trường Đại Học Bách Khoa - Đại Học Quốc Gia Tp.HCM

KS. Trần Như Trọng

Học viên cao học, Khoa Kỹ Thuật Xây Dựng,

Trường Đại Học Bách Khoa - Đại Học Quốc Gia Tp.HCM

1. Giới thiệu

Móng cọc đã được áp dụng tương đối phổ biến ở Việt Nam từ những năm 1980, cùng với đó việc phân tích móng cọc cũng được phát triển từ rất sớm ở nước ta. Có thể kể đến những nghiên cứu ban đầu của các tác giả Lê Quý An, Nguyễn Cảnh Chân và Mai Tây Lò [1] rồi sau đó là Bùi Anh Đinh, Nguyễn Sỹ Ngọc [2] và Vũ Công Ngũ [3]. Đó là cơ sở lý thuyết ban đầu để các nhà nghiên cứu tiếp tục triển khai, tìm hiểu chuyên sâu hơn về các vấn đề như: độ dày - độ bền. Nguyễn Duy Cường đã tập trung nghiên cứu ứng xử của nhóm cọc chịu tải trọng ngang và momen khai với ứng xử của cọc đơn và cọc chồng chập vùng ảnh hưởng của các cọc bên cạnh nhau [4]. Bên cạnh đó Phạm Văn Thoan đã trình bày cơ sở lý thuyết mới quan trọng về tác động cọc và nền, các phương pháp phân tích tinh hiệu ứng nhóm trong móng cọc. Đồng thời, đã khảo sát ảnh hưởng của hệ số hiệu ứng nhóm đối với các dài lưỡng như khoảng cách giữa các cọc, đường kính cọc, số lượng cọc trong móng cọc, nền đất sét và cát trên cơ sở phương pháp thử nghiệm [5]. Các yếu tố ảnh hưởng đến móng cọc đã được phân tích, tuy nhiên kết quả phân tích cọc như đầu cọc và thân trụ vẫn chưa có những nghiên cứu cụ thể.

Tren thế giới các nghiên cứu và sự làm việc của móng cọc cũng được quan tâm rất sớm, trong số các tài liệu chỉ tiết và đầy đủ không thể không kể đến tài liệu của Bogard, Matlock, 1983; Brown et al., 1988; Ooi et al., 2004 đã trình bày phương pháp cọc đơn tương đương. Hay phương pháp dàn hồi do Poulos, 1971; Banciulea và Driscoll, 1976; Randolph, 1980, phương pháp truyền tải trong ba chiều tổng thể do Reese et al., 1970; Chow 1987; Holt et al., 1996; Kitayodom và Matsumoto, 2002 [6]. Từ đó nhiều phân tích chuyên sâu tương tác dài cọc - cọc - đát nền đã được thực hiện. Desai, Alameddine, Kuppusamy [7] đã dùng phương pháp phân tử hữu hạn để phân tích kết cấu. Sale et al. (2010) công bố rằng tổng độ cứng của móng cọc liên quan trực tiếp đến độ cứng của các cọc, và độ lún của móng là hệ quả trực tiếp của các độ cứng đơn lẻ của tất cả các phần tử

trong đó và tương tác dài – cọc – đất nền. Long (2010) viện dẫn một nghiên cứu dựa trên thí nghiệm với mô hình thực tế quy mô lớn và nhận thấy rằng cọc chịu tải trọng càng lớn thì độ lún càng nhỏ. Theo Lin và Feng (2006), phân tán các cọc biến đổi lực dọc lớn hơn (125 Pave) so với các cọc ở trong (0.8Pave) với các cọc phân bố như nhau. Một vài nghiên cứu đã phân tích ảnh hưởng của chiều dài cọc, Leung et al. (2010) tìm ra rằng lún lạch có thể được giảm bằng cách sử dụng các cọc dài hơn ở phần trung tâm và ngắn hơn ở phần chia vỉ của dài. Lee et al. (2010) kết luận rằng, ở cấp tải trọng nhỏ, các cọc ở giữa thường nhỏ hơn so với cọc biên, ngược lại ở cấp tải trọng lớn hơn, bài trọng lên các cọc ở giữa lớn hơn không đồng đều so với cọc biên. Lee et al. (2010) cũng tìm thấy rằng khả năng chịu tải mũi cọc hẩu như giống nhau nếu chiều dài và đặc trưng giống nhau, không quan tâm đến loại tái trọng, ngoài ra, một kết quả nữa là tỷ lệ tải trọng trong chấn hẫu dài khi bị phá hoại thì không phụ thuộc nhiều vào đặc trưng cọc. [6]

Ứng xử của móng cọc cũng phụ thuộc vào loại đất phía dưới dài cọc. Oh et al. (2008) thực hiện một nghiên cứu mô hình với phân tích số học và kết luận là đối với đất cát, độ lún lớn nhất phụ thuộc vào khoảng cách cọc và số lượng cọc. [6]

Bên cạnh cọc – đất nền thì dài cọc cũng ảnh hưởng lớn đến móng cọc. Giảm dày ảnh hưởng của dài cọc mới được tập trung nghiên cứu. Lin và Feng (2006) công bố rằng chiều dày của dài cọc có ảnh hưởng nhỏ đến độ lún tổng thể trong dài cọc kích thước nhỏ hơn 15x15m và đến lún lạch; dài cọc mỏng thấy rõ điều đó hơn so với dài dày. Ngoài ra, Cunha et al. (2011) đã nghiên cứu và kết luận rằng khi tăng chiều dày dài cọc, chuyển vị lớn nhất (cả tổng và lún lạch) giảm, tải trọng lớn nhất eoc giảm xuống, dài cọc chịu tải trọng lớn hơn.

Các nghiên cứu trên giúp chúng ta hiểu rõ hơn cơ chế tương tác giữa các bộ phận trong móng cọc. Tuy nhiên vẫn chưa có nghiên cứu phân tích chuyên sâu để từ đó lựa chọn chiều dày dài cọc hợp lý. Đồng thời các nghiên cứu trên chỉ xem xét dài cọc mà bỏ qua kết cấu tháp trù, trong thực tế dài cọc và tháp trù là một kết cấu tổng thể ảnh hưởng lẫn nhau. Hiện nay nhiều tính toán thiết kế cũng bỏ qua yếu tố này.

Để hiểu rõ hơn cơ chế tương tác dài cọc – cọc – đất nền, cũng như sự ảnh hưởng của tháp trù, bài báo đi nghiên cứu chi tiết nội lực của cọc dựa vào phần mềm Plaxis 3D Foundation từ đó xây dựng công thức lựa chọn chiều dày dài cọc hợp lý về mặt nội lực của cọc. Các trường hợp tính toán được xem xét khi có và không có tháp trù.

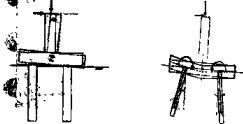
2. Độ Cứng Của Đầu, Độ Cứng Tương Đối Của Đầu Và Cọc

Đài cọc cũng hay mềm phụ thuộc vào độ cứng tương đối của chính nó và đất nền. Ứng xử của móng cũng phụ thuộc vào độ cứng của kết cấu bên trên (Gupta (1997)).

Việc biết chính xác mối liên hệ giữa độ cứng của cọc và dài cọc kỳ quan trọng đối với việc thiết kế chính xác nhôm cọc để sử dụng trong các kết cấu móng mềm [8].

Móng cọc dài cứng là loại móng cọc có dài có độ cứng lớn hơn nhiều so với độ cứng của cọc.

Với giả thuyết móng cọc dài cứng, việc tính toán sẽ đơn giản hơn rất nhiều. Theo Lê Đức Thắng [9], khi khoảng cách giữa hai trực cọc cạnh nhau (tại mặt phẳng đáy dài) không quá 6 lần đường kính hay cạnh cọc thì giả thuyết này không đưa đến sai số đáng kể. Nhưng với khoảng cách giữa các trực cọc cạnh nhau quá lớn mà không kể đến độ uốn dài cọc thì kết quả tính toán sẽ sai rất nhiều so với thực tế. [9]



Hình 2.1. Chuyển vị theo sơ đồ dài cứng và dài mềm

Theo Veselov VA, khi tỷ lệ cạnh dài và chiều cao dài cọc nhỏ hơn 4:1, dài cọc được xem là cứng. Chiều cao dài cọc được quy định dựa vào tính toán hoặc theo cầu tạo. [10]

Độ cứng của dài cọc là một trong những thông số chủ yếu để xác định sự phân bố tải trọng giữa các cọc. Độ cứng của dài cọc có thể được miêu tả bởi nhiều công thức khác nhau dựa trên độ cứng chung uốn của một tấm.

Guo (1988) định nghĩa độ cứng của dài cọc bằng cách xét đến độ cứng của cọc, đất nền và khoảng cách giữa các cọc, nên định nghĩa này phù hợp hơn hết

$$K_n = \frac{E_i t^2}{12(1-v_i^2)s^2} \frac{\Delta_{\text{angle}}}{P_{\text{act}}}$$

E: modun đàn hồi của dài (Mpa)

t: chiều dày của dài (m)

v: hệ số poisson của dài cọc

s: khoảng cách giữa các cọc (m)

Δ_{angle} : độ lún của cọc đơn (m), tính toán theo phương pháp Woodward - Gardner & Greer

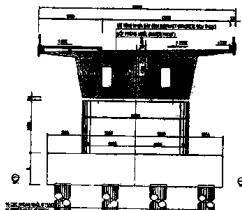
P_{act}: tải trọng trung bình một cọc chịu (m)

3. Các Trường Hợp Nghiên Cứu

3.1. Trường hợp nghiên cứu 1 (cầu số 1)

3.1.1. Giới thiệu công trình

Kết cấu nghiên cứu là trụ cầu của một cầu cát đúc hằng nhịp 48+72+48m ở khu vực Nhà Bè, TP Hồ Chí Minh. Bề rộng cầu 18.5m



Bảng 3.1. Các thông số đất nền cầu số 1

Tên lớp	Chiều dày lớp / m	γ_{soil} kN/m ³	γ_{sc} kN/m ³	C	ϕ	E kN/m ²	Mô hình
Bùn tết, mềm	21.2	8	15	10.4	5	963	MC
Cát set, chất vừa	3.2	16.3	20	0.3	37	27300	MC
Set cung	4	12.8	18.1	31	10	75000	MC
Cát mìn, chất vừa	14.9	18	20	0.3	34	19900	MC
Set cung	22	13.1	19.2	21.7	16	100000	MC
Cát chất	19.7	18	20	0.3	40	75000	MC

3.1.3. Thống số cọc và trụ

Bảng 3.2. Các thông số cọc và trụ Cầu số 1

Vật liệu	γ_{unit} (kN/m ³)	E (kN/m ²)	v	Mô hình
Trụ và Đài	24.5	2.77E+04	0.2	Linear Elastic
Cọc	24.5	2.77E+04	0.2	Linear Elastic

3.1.1. Tải trọng tác dụng lên dinh thần trú

Luân vân không thiết kế lại trụ, mà chỉ tập trung vào nghiên cứu ảnh hưởng của cọc cao, do đó tải trọng được lấy trực tiếp từ hồ sơ thiết kế (tính toán theo tiêu chuẩn Thiết kế cầu 22TCN 272-05). Tổ hợp được lấy để phân tích ở TTGH SD tác dụng lên một gói như sau: $V=18021 \text{ kN}$, $H=865 \text{ kN}$.

3.1.2 Mô hình

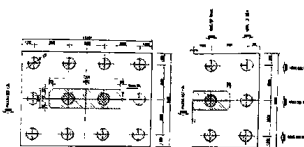
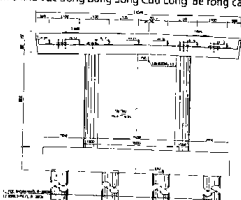
Cọc có đường kính 15m, dài 67m. Trụ và cọc được mô hình như hình dưới. Với bài toán đối xứng để đơn giản hóa mô hình đồng thời rút ngắn thời gian tính toán, chỉ cần mô hình một nửa trụ cầu với các điều kiện biên đất nền như sau: mặt phẳng đối xứng (đi qua giữa trụ cầu) có chuyển vị thẳng đứng và doc cầu, chỉ hạn chế chuyển vị theo phương ngang cầu, các mặt còn lại hạn chế chuyển vị theo cả 3 phương x, y, z



3.2. Trường hợp nghiên cứu 2 (Cầu số 2)

3.2.1. Giới thiệu công trình

Kết cấu nghiên cứu là trụ cầu của một cầu giàn đơn hai bên là nhịp super T 40m ở khu vực đồng bằng Sông Cửu Long. Bé rộng cầu 15m



Hình 3.7. Kích thước dây cọc và kích thước mô hình Plaxis dài cọc Cầu số 2

3.2.2 Các thông số đất nền

Bảng 3.3. Các thông số đất nền Cầu số 2

Tên lớp	Chiều dày lớp / m	γ_{soil} kN/m ³	γ_{sc} kN/m ³	C	ϕ	E kN/m ²	Mô hình	
Set rát dèo, cháy	6.53	9.3	15.7	9.9	18	528	MC	
Set rát dèo, dèo cứng-nữa cứng	3.7	15.2	19.5			11	972	MC
Set rát dèo, dèo cứng-nữa cứng	15.7	14.9	19.2	28	14	3673	MC	
Cát bát set, chất vừa-rất chất	44.07		20	0.3	37	39700	MC	

3.2.3. Thông số cọc và trụ

Bảng 3.4. Các thông số cọc và trụ Cầu số 2

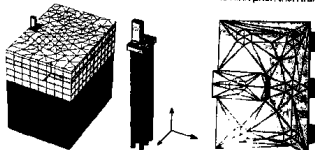
Vật liệu	γ_{unit} (kN/m ³)	E (kN/m ²)	v	Mô hình
Trụ và Đài	24.5	2.77E+04	0.2	Linear Elastic
Cọc	24.5	2.77E+04	0.2	Linear Elastic

3.2.1. Tải trọng tác dụng lên dinh thần trú

Về móng không có xà mũ nên để thể hiện gần đúng với thực tế truyền tải tải trọng trong trụ, các tải trọng được quy về tải phản bối đều ở mặt dinh thần trú. Tải trọng được lấy trực tiếp từ hồ sơ thiết kế tĩnh tính theo tiêu chuẩn Thiết kế cầu 22TCN 272-05. Tổ hợp được lấy để phân tích ở trạng thái giàn cứng dò tác dụng tại mặt dinh thần trú cho một nửa trụ: $V=9689 \text{ kN}$, $H=269 \text{ kN}$. Quy đổi về tải trọng phản ứng phản bối đều tác dụng trên mặt dinh thần trú được: tải trọng phản bối đều thẳng đứng nửa phía trước $q=1220 \text{ kN/m}^2$, tải trọng phản bối đều thẳng đứng nửa phía trước $q=1364 \text{ kN/m}^2$, tải trọng phản bối đều nằm ngang hông dọc cầu $q=25 \text{ kN/m}^2$.

3.2.2 Mô hình

Cọc có đường kính 12m, dài 44.5m. Trụ và cọc được mô hình như hình dưới. Điều kiện biên được lấy tương tự như đối với Cầu số 1. Để mô hình thân trụ đơn giản, bài báo không xét đến xa mủ mà chỉ mô hình phản ứng trú.



Bảng 3.5. So sánh các thông số giữa hai cầu

Tên cầu	Chiều rộng dài (m)	Chiều dài dài (m)	Số lượng cọc	Đường kính cọc (m)	Chiều dài cọc (m)
Cầu số 1	16.5	16.5	16	1.5	67
Cầu số 2	13.2	9.6	12	1.2	44.5

4. Kết Quả Phân Tích

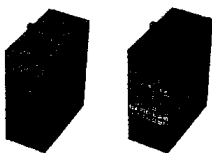
Sau khi mô hình phân tích, ta được các biểu đồ chung như sau:



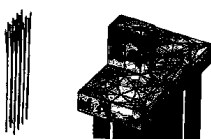
Hình 3.9. Biểu đồ chuyển vị tổng hổn loạn cọc



Hình 3.10. Biểu đồ chuyển vị theo hướng dọc cầu và ngang cầu của hệ móng cọc



Hình 3.11. Biểu đồ ứng suất tổng trung bình và áp lực lõi riêng của hệ móng cọc

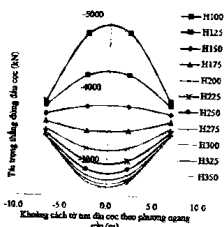


Hình 3.12. Biểu đồ chuyển vị của hệ cọc và biểu đồ ứng suất trung bình trong dài cọc

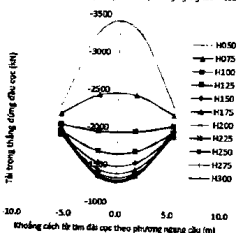
4.1. Ảnh hưởng của chiều dày dài cọc

Nghiên cứu này được thực hiện bằng cách thay đổi chiều dày dài cọc và giữ nguyên tất cả các thông số không đổi khác. Mỗi cầu được phân tích với 12 chiều dày dài cọc khác nhau.

4.2. Lực dọc đầu cọc



Hình 3.13. Lực dọc đầu cọc của hàng cọc giữa theo phương ngang cầu – Cầu số 1



Hình 3.14. Lực dọc đầu cọc của hàng cọc giữa theo phương ngang cầu – Cầu số 2

Từ biểu đồ trên ta thấy các cọc có vị trí càng gần tim trụ (gần điểm đặt lực) thì càng nhạy cảm với sự thay đổi chiều dày dài cọc, khi chiều dày dài cọc nhỏ ($<1.75m$ ở cầu số 1 và $<1.0m$ ở cầu số 2), lực dọc đầu cọc của các cọc ở giữa lớn hơn rất nhiều so với các cọc biên. Tuy nhiên khi tăng chiều dày dài cọc, xu hướng này càng dần chiếm. Ứng với chiều dày dài cọc lớn hơn ($>1.75m$ ở cầu số 1 và $>1.0m$ ở cầu số 2), lực dọc của các cọc ở giữa giảm xuống, nhỏ hơn các cọc ở biên.

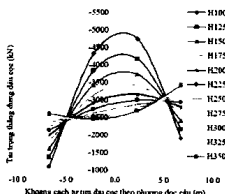
Điều này được lý giải dựa vào biến dạng mềm của dài cọc. Biến dạng mềm của dài cọc là tổng hợp của 2 loại biến dạng tương đối và tuyệt đối. Biến dạng tuyệt đối của dài cọc là chuyển vị của dài cọc khi giàn thiết kế là cứng tuyệt đối. Biến dạng tương đối là biến dạng cốc bộ trong bản thân dài cọc khi giàn thiết kế dài cọc có độ cứng nhất định.

Khi chiều dày dài cọc nhỏ, dưới tác dụng của ngoại lực, bên cạnh biến dạng tuyệt đối, dài cọc bị biến dạng tương đối lún xuống tại khu vực giữa dài. Biến dạng này càng lớn thì lực dọc đầu cọc trong các hàng cọc giữa cũng càng lớn. Khi tăng chiều dày dài cọc làm tăng độ cứng dài thì biến dạng tương đối này nhỏ đi dần đến lực dọc đầu cọc cũng nhỏ theo. Khi tăng chiều dày dài cọc đến một giá trị đạt được độ cứng tương đối lớn, chuyển vị lún xuống tương đối của dài cọc chỉ còn rất nhỏ. Khi tiếp tục tăng chiều dày dài cọc, nội lực trong cọc chủ yếu chịu ảnh hưởng bởi sự tăng trọng lượng bản thân dài cọc, chuyển vị của dài và tăng tác giả các cọc trong nhóm. Chính ảnh hưởng tương tác giữa các cọc đã làm giảm lực dọc trong các cọc ở giữa so với các cọc ở biên.

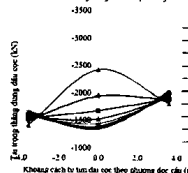


Hình 3.15. Biến dạng của dài cọc trong mô hình dài cọc mềm

Hiện tượng biến dạng tương đối của dài cọc không chỉ ảnh hưởng đến nén lực cọc theo phương ngang mà cả phương ngang dọc cọc. Trong một hàng cọc theo phương dọc cầu cũng có sự thay đổi tương tự (Hình 4.19, 4.20). Tuy nhiên vì kích thước thân trụ theo phương ngang lớn hơn phương dọc nên chiều dày dài để bỏ qua chuyển vị lún xuống của dài cọc theo phương dọc cầu lớn hơn so với phương ngang cọc.

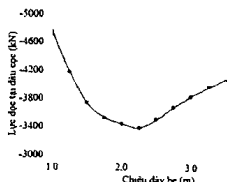


Hình 3.16. Lực dọc đầu cầu của hàng cọc giữa theo phương dọc cầu - Cầu số 1

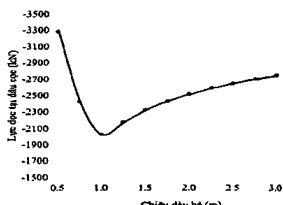


Hình 3.17. Lực dọc đầu cầu của hàng cọc giữa theo phương dọc cầu - Cầu số 2

Trong thực tế, khi thiết kế, cọc có nén lực lớn nhất sẽ được lựa chọn làm dài diện để thiết kế cho cả dài. Do đó lún vàn tiến hành phân tích trường hợp cần thiết là lực dọc đầu cọc lớn nhất. Ứng với từng cầu ta có biểu đồ sau



Hình 3.18. Lực dọc đầu cọc lớn nhất ứng với các chiều dày dài cọc thay đổi - Cầu số 1



Hình 3.19. Lực dọc đầu cọc lớn nhất ứng với các chiều dày dài cọc thay đổi - Cầu số 2

Như đã phân tích ở trên, ứng với chiều dày dài cọc rất nhỏ, lực dọc ở các cọc giữa rất lớn. Khi tăng chiều dày dài cọc, lực dọc ở các cọc giữa giảm xuống, trong khi đó do hướng tác dụng tải trọng và sự tăng trọng lượng bần thân dài cọc nên các cọc phía trước có lực dọc tăng lên.

Theo Cunha et al. (2011) đã nghiên cứu và kết luận rằng khi tăng chiều dày dài cọc, tải trọng lớn nhất lên cọc giảm xuống. Điều này đồng nghĩa với chiều dày cọc nhỏ. Khi tăng chiều dày dài cọc đến mức giá trị nhất định thì tải trọng lớn nhất lên cọc tăng lên, khi đó phải biếu của Cunha et al (2011) không còn chính xác nữa.

Vì vậy ta có thể phân tích biểu đồ trên thành 2 nhánh, nhánh bên trái giảm dần dài diện cho các cọc ở giữa và nhánh bên phải tăng dần dài diện cho các cọc ở phía trước. Giá trị giao giữa 2 nhánh này được gọi là "Điểm cứng". Tại "Điểm cứng" lực dọc trên hàng cọc giữa và hàng cọc phía trước gần như bằng nhau, chính là điểm có lực dọc nhỏ nhất trong tất cả trường hợp thay đổi chiều dày dài cọc.

Luân văn phân tích đồ cứng dài cọc theo công thức của Guo (1988)

$$K_{cr} = \frac{E_r t_r^3}{12(1-\nu_r^2)s^2} \frac{\Delta_{\text{nhán}}}{P_{\text{crv}}}$$

Trong đó, đồ cứng tương đương dài cọc có liên quan đến ứng xử của đất nén xung quanh cọc, khoảng cách giữa các cọc và đặc trưng dài cọc. Tuy nhiên công thức của Guo (1988) vẫn còn hạn chế đối với chỉ quan tâm đến độ cứng của dài cọc mà bỏ qua ảnh hưởng bởi khía cùa thân trụ phía trên. Để khắc phục vấn đề này, luân văn phát triển công thức tính K' , ở trên trong đó chiều dày dài cọc t_r được quy đổi từ toàn bộ kết cấu thân - dài.

$$t'_r = \frac{b_1 l_1 t_r + b_2 l_2 h_2}{b_1 l_1}$$

Trong đó

b_1 : chiều rộng dài cọc (m)

l_1 : chiều dài dài cọc (m)

b_2 : chiều rộng thân trụ (m)

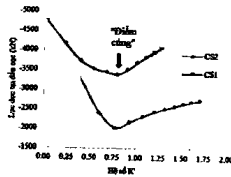
l_2 : chiều dài thân trụ (m)

h_2 : chiều cao thân trụ (m)

Dựa trên cơ sở công thức trên, để đưa ra quy luật phân bố nội lực trong cọc, đồng thời lựa chọn được chiều dày dài cọc hợp lý bằng cách tiến hành phân tích một hệ số K' :

$$K' = \log_{10}(K_{cr})$$

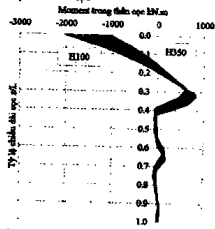
Nghiên cứu trường hợp này bằng cách áp dụng hệ số K' ở trên, ta có biểu đồ sau



Hình 3.20. Biểu đồ "điểm cứng"

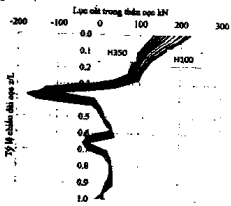
Dễ dàng nhận thấy, "điểm cứng" xuất hiện khi $t=2.25m$ ở cầu số 1 và $1.0m$ ở cầu số 2. Đồng thời K' tương ứng luôn bằng 0.8. Như vậy dài cọc có thể coi là cứng về mặt lực khi hệ số $K'=0.8$.

4.3. Moment, lực cắt thân cọc



Hình 3.21. Biểu đồ moment dọc thân cọc khi thay đổi chiều dài cọc – Cầu số 1

Sự phản bội moment uốn trong cọc đối với các chiều dài cọc khác nhau được trình bày trong hình. Nhận thấy rằng sự thay đổi chiều dài cọc không gây ra sự thay đổi đáng kể trong moment uốn, ngoại trừ khu vực gần đầu cọc, nơi sự thay đổi lực cắt là lớn nhất (xem hình). Khi tăng chiều dài cọc từ 3.5 lần (từ 1.0m đến 3.5m), moment lớn nhất ở đầu cọc giảm đi một nửa. Đầu cọc với chiều dài nhỏ ứng xử như một kết cấu mềm, chuyển vị giao đầu cọc lớn, dẫn đến moment uốn khu vực này cũng lớn lên. Càng sâu vào trong đất nền, dưới ảnh hưởng áp lực hòn của đất, chuyển vị ngang của cọc bị hạn chế nên moment dọc theo cọc cũng nhỏ lại.



Hình 3.22. Biểu đồ lực cắt thân cọc khi thay đổi chiều dài cọc – Cầu số 1

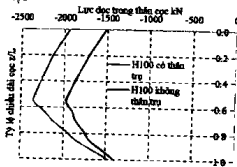
Ta thấy rằng lực cắt trong tất cả các cọc đạt lớn nhất ở mặt đất và nhỏ nhất ở mũi cọc. Lực cắt ở mặt đất chỉ được chịu bởi cọc, trong khi đó, ở độ sâu ngầm trong đất, chịu bởi cả cọc và đất nền dọc theo cọc. Kết quả là, lực cắt tắt cả các cọc có xu hướng giảm theo chiều sâu. Cũng giống như moment, lực cắt dọc theo cọc cũng giảm xuống khi tăng chiều dài cọc, điều này thể hiện rõ nhất ở gần đầu cọc.

Do đó, moment và lực cắt dọc cọc chịu ảnh hưởng lớn bởi đặc trưng dài cọc và đất nền xung quanh cọc. Đồng thời nội lực cọc ở khu vực đầu cọc đặc biệt nhạy cảm với sự thay đổi chiều dài cọc.

4.4. Ánh hưởng của thân trụ

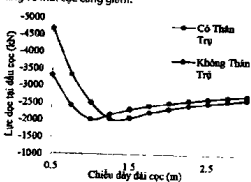
Trong các tình huống thiết kế thông thường hiện nay, để đơn giản tính toán người thiết kế thường bỏ qua ảnh hưởng của độ cứng thân trụ đối với phần bố tải trọng lên các cọc mà chỉ quy đổi tải trọng về định dài cọc. Trong thực tế thân trụ và dài cọc là một kết cấu thống nhất tạo nên độ cứng chung thân – dài. Vì vậy việc nghiên cứu ảnh hưởng của thân trụ là cần thiết. Để khảo sát tính chất trên, luận văn tiến hành phân tích cầu số 2 với các chiều dài cọc khác nhau. Các đặc trưng kết cấu, đất nền được giữ nguyên. Phân tích trường hợp có mô hình thân trụ và không có thân trụ. Tổ hợp tải trọng trong trường hợp không có thân trụ được quy đổi về định dài cảo bao gồm các tải trọng tại dinh thân trụ cộng thêm trọng lượng thân trụ và momen phát sinh do lực ngang ở dinh trụ.

4.5. Lực dọc



Hình 3.23. Biểu đồ lực dọc thân cọc khi thay đổi chiều dài $t=1m$

Dựa vào hình 4.26 ta thấy lực dọc thân cọc chịu ảnh hưởng lớn bởi kết cấu thân trụ. Phản ứng ảnh hưởng nhiều nhất là đoạn đầu cọc. Ảnh hưởng này càng về mũi cọc càng giảm.

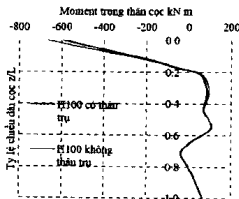


Hình 3.24. Biểu đồ lực dọc đầu cọc lớn nhất khi có và không có thân trụ với các chiều dài cọc khác nhau

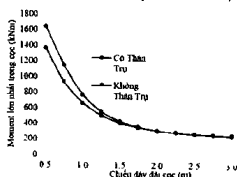
Khi xem xét tổng quát với các chiều dài khác nhau ở hình 4.27, kết quả với chiều dài dài cọc càng nhỏ thì ảnh hưởng của thân trụ càng lớn. Với chiều dài cọc nhỏ (từ 0.5m đến 1.0m) lực dọc đầu cọc lớn nhất trong trường hợp không mô hình thân trụ cho kết quả lớn hơn khi mô hình có thân trụ. Tuy nhiên khi tăng chiều dài cọc ($>1.0m$), ta thấy biểu đồ có sự đảo chiều, lực dọc đầu cọc lớn nhất trong trường hợp có mô hình thân trụ lại cho kết quả lớn hơn mô hình không có thân trụ. Điều này được giải thích dựa vào độ cứng kết cấu thân – dài trong mô

hình có thân trù và kết cấu chỉ dài cọc trong mô hình không có thân trù. Kết cấu thân - dài cọc đồng thời lớn hơn nên với chiều dày dài cọc nhỏ, biến dạng tương đối của dài cọc (biến dạng lõm ở các cọc ở giữa) cũng bị hạn chế hơn dẫn đến nút lực đầu cọc lớn nhất (khi này là các cọc ở giữa) cũng nhỏ hơn. Khi tăng chiều dày dài cọc biến dạng tương đối của dài cọc giảm dần, sự phân bố tải trọng lúc này phụ thuộc lớn vào biến dạng tuyệt đối của dài cọc, tức là tuyến tính theo góc xoay của dài cọc dẫn đến các cọc ở phía trước có nút lực đầu cọc lớn nhất. Tuy nhiên vì đó cũng của kết cấu dài cọc bao giờ cũng nhỏ hơn của kết cấu thân - dài cọc nên chịu ảnh hưởng bởi biến dạng tương đối dài cọc ở giữa lớn hơn. Kết quả là kết cấu không có thân trù có lực dọc đầu cọc các cọc ở giữa lớn hơn và các cọc ở phía trước nhỏ hơn so với kết cấu có thân trù.

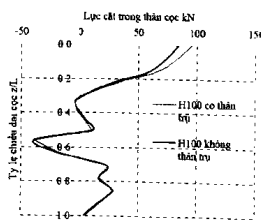
4.6. Moment và lực cắt trong cọc



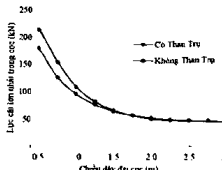
Hình 3.25 Biểu đồ moment thân cọc khi có và không có thân trù với chiều dày dài $H=1m$



Hình 3.26 Biểu đồ momnet lon nhat trong coc khi co và không có thân trù với các chiều dày cọc khác nhau.



Hình 3.27 Biểu đồ lực cắt thân cọc khi có và không có thân trù với chiều dày da



Hình 3.28 Biểu đồ lực cắt lon nhat trong coc khi có và không có thân trù với các chiều dày cọc khác nhau

Dựa vào các biểu đồ trên ta thấy moment và lực cắt dọc cọc chịu ảnh hưởng bởi thân trù, tuy nhiên chỉ ảnh hưởng khi chiều dày cọc nhỏ ($<1.5m$). Khi chiều dày dài cọc lớn hơn, moment và lực cắt trung hai trường hợp này hầu như bằng nhau.

Kết Luận

Qua các phân tích ở trên ta thấy có thể xác lập công thức để lựa chọn chiều dài dài cọc hợp lý về mặt nội lực thông qua tính toán bằng K' bằng cách phân định giàn đỡ trên hình dạng dài cọc, thân trù, từ trong, địa chất. Nói lực trong các cọc đạt giá trị tối ưu khi $K'=0.8$. Ngoài ra việc thiết kế dài cọc còn phụ thuộc vào các yếu tố khác như khả năng chịu chocs, thử nghiệm, phân tích chống giằng ... Do đó chiều dày dài cọc phải đáp ứng điều kiện $K' \geq 0.8$.

Các cọc có vị trí càng gần trục trung (gắn điểm đặt lực) thì càng nhanh cảm với sự thay đổi chiều dày dài cọc. Đồng thời, hiện tượng biến dạng tương đối của dài cọc không chỉ ảnh hưởng đến nội lực cọc mà còn ảnh hưởng ngang mà cả phương ngang dọc cọc. Sự thay đổi chiều dày dài cọc không gây ra sự thay đổi đáng kể trong moment uốn, ngoài trừ một vực gần đầu cọc, nơi sự thay đổi lực cắt là lớn nhất.

Lực cắt thân cọc chịu ảnh hưởng lớn bởi kết cấu thân trù. Phần chịu ảnh hưởng nhiều nhất là đoạn đầu cọc. Ảnh hưởng này càng về mũi cọc càng giảm. Bên cạnh đó, moment và lực cắt dọc cọc vẫn chịu ảnh hưởng bởi thân trù, tuy nhiên chỉ ảnh hưởng này chỉ rõ nét khi chiều dày dài cọc nhỏ. Do đó khi tính toán móng cọc cần phải mô hình hóa cả thân trù là một kết cấu tổng thể.

TÀI LIỆU THAM KHẢO

- [1] Lê Quý An, Nguyễn Cảnh Chân, Mai Tây La, Cơ học đất, Nền và Móng, Trường Đại học Thành phố Hồ Chí Minh, 1992
- [2] Bui Anh Bình, Nguyễn Sỹ Ngọc, Nền và móng công trình cầu đường, Nhà xuất bản kỹ thuật
- [3] V. C. Ngũ, Móng cọc - Phân tích và thiết kế, Nhà xuất bản Khoa học và Kỹ thuật
- [4] N. D. Cuong, «Nghiên cứu sự làm việc của cọc đơn và nhóm các cọc dưới móng trù», 2007.
- [5] P. V. Thanh, «Nghiên cứu một số vấn đề về hiệu ứng nhóm trong móng cọc công trình dập Tap chí cầu đường Việt Nam, 2015.
- [6] G. Sonmez, «A study of design of piled raft foundation systems», 2013.
- [7] C. K. T. A. A. Desai, «Pile cap-pile group-soil interaction», Journal of Structural Engineering, ASCE, vol. 107(ST5), pp. 817-834, 1981
- [8] U. A. C. o. Engineers, «Engineering and Design: Design of Pile Foundations Engineer Manual No 1110-2-2906», 1991
- [9] L. L. Đ. Thành, Tính toán móng cọc.
- [10] V. VA, Các cản curva cơ sở thiết kế - Tập 3
- [11] C. s AASHTO, LRFD Bridge Design Specification, Washington D C, 2005
- [12] L. B. Khanh, «Bài giảng các chuyên đề chuyên sâu về cầu», 2010